

Soutenance de Stage

Méthodes de volumes finis sur carte graphique nVidia pour Euler compressible

L.Besson S.Hecht M.Isnard

ENS Cachan

2 juillet 2012

Encadrants F.De Vuyst, J.M.Ghidaglia ; D.Chauveheid, S.Benjelloun.

Aujourd'hui

De quoi va-t-on parler? Trois points :

- nos problématiques ;
- nos réalisations théoriques ;
- nos réalisations pratiques.

Plan de la présentation

- **Introduction** :
que fait-on ? dans quel intérêt ?
- **Préliminaires** : Équation d'advection Rappels.
- **Équations d'Euler (théorie)** :
équations générales en 3D, méthode de *splitting*, schéma en 1D et généralisation ;
démonstration de notre schéma assistée par ordinateur (Maple).
- **Équations d'Euler (pratique)** :
Difficultés rencontrées, simulations en C et en CUDA ;
affichages via la combinaison du format de données VTK et du logiciel d'affichage ParaView (1D, 2D, 3D ; avec ou sans terme source ; plusieurs conditions de bords) ;
affichage *directement sur la carte graphique* via OpenGL, début d'interactivité dans les simulations (via GLUT).
- **Optimisation du code séquentiel et parallèle** :
Première comparaison des performances, optimiser la visualisation, et résultats finaux.

Plan de la présentation

- **Introduction** :
que fait-on ? dans quel intérêt ?
- **Préliminaires : Équation d'advection** Rappels.
- **Équations d'Euler (théorie)** :
équations générales en 3D, méthode de *splitting*, schéma en 1D et généralisation ;
démonstration de notre schéma assistée par ordinateur (Maple).
- **Équations d'Euler (pratique)** :
Difficultés rencontrées, simulations en C et en CUDA ;
affichages via la combinaison du format de données VTK et du logiciel d'affichage ParaView (1D, 2D, 3D ; avec ou sans terme source ; plusieurs conditions de bords) ;
affichage *directement sur la carte graphique* via OpenGL, début d'interactivité dans les simulations (via GLUT).
- **Optimisation du code séquentiel et parallèle** :
Première comparaison des performances, optimiser la visualisation, et résultats finaux.

Plan de la présentation

- **Introduction** :
que fait-on ? dans quel intérêt ?
- **Préliminaires** : Équation d'advection Rappels.
- **Équations d'Euler (théorie)** :
équations générales en 3D, méthode de *splitting*, schéma en 1D et généralisation ;
démonstration de notre schéma assistée par ordinateur (Maple).
- **Équations d'Euler (pratique)** :
Difficultés rencontrées, simulations en C et en CUDA ;
affichages via la combinaison du format de données VTK et du logiciel d'affichage ParaView (1D, 2D, 3D ; avec ou sans terme source ; plusieurs conditions de bords) ;
affichage *directement sur la carte graphique* via OpenGL, début d'interactivité dans les simulations (via GLUT).
- **Optimisation du code séquentiel et parallèle** :
Première comparaison des performances, optimiser la visualisation, et résultats finaux.

Plan de la présentation

- **Introduction** :
que fait-on ? dans quel intérêt ?
- **Préliminaires : Équation d'advection** Rappels.
- **Équations d'Euler (théorie)** :
équations générales en 3D, méthode de *splitting*, schéma en 1D et généralisation ;
démonstration de notre schéma assistée par ordinateur (Maple).
- **Équations d'Euler (pratique)** :
Difficultés rencontrées, simulations en C et en CUDA ;
affichages via la combinaison du format de données VTK et du logiciel d'affichage ParaView (1D, 2D, 3D ; avec ou sans terme source ; plusieurs conditions de bords) ;
affichage *directement sur la carte graphique* via OpenGL, début d'interactivité dans les simulations (via GLUT).
- **Optimisation du code séquentiel et parallèle** :
Première comparaison des performances, optimiser la visualisation, et résultats finaux.

Plan de la présentation

- **Introduction** :
que fait-on ? dans quel intérêt ?
- **Préliminaires : Équation d'advection** Rappels.
- **Équations d'Euler (théorie)** :
équations générales en 3D, méthode de *splitting*, schéma en 1D et généralisation ;
démonstration de notre schéma assistée par ordinateur (Maple).
- **Équations d'Euler (pratique)** :
Difficultés rencontrées, simulations en C et en CUDA ;
affichages via la combinaison du format de données VTK et du logiciel d'affichage ParaView (1D, 2D, 3D ; avec ou sans terme source ; plusieurs conditions de bords) ;
affichage *directement sur la carte graphique* via OpenGL, début d'interactivité dans les simulations (via GLUT).
- **Optimisation du code séquentiel et parallèle** :
Première comparaison des performances, optimiser la visualisation, et résultats finaux.

Que fait-on ?

Simulations numériques de problèmes de mécanique des fluides.

Intérêt ? Deux principaux

Industriel : industrie pétrolière, métallurgie, pétro-chimie ;

Pédagogique : des problèmes bien étudiés donc bien connus ;
mais des simulations numériques qui peuvent toujours s'améliorer, via de nouveaux outils (nVIDIA CUDA, OPENMP).

Des applications gourmandes en temps de calcul !

- nécessite une grosse puissance de calcul pour avoir une bonne précision et une bonne stabilité ;
- mais ces problèmes sont "*bien*" parallélisables (schémas locaux).

⇒ Programmation parallèle sur cartes graphiques : outil nVIDIA CUDA.

Équation d'advection et extension du modèle

Rappels

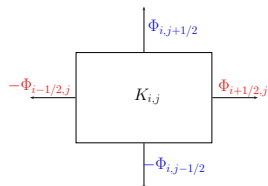
L'équation d'advection (en 2D)

$$\frac{\partial u}{\partial t} + \operatorname{div}(u \vec{c}) = 0.$$

$u : \mathbb{R}_+ \times \mathbb{R}^2 \rightarrow \mathbb{R}$, représente une quantité associée à une particule de fluide ;

$\vec{c} = [a, b]^T$: est une vitesse, représentant le courant.

On discrétise en *grilles cartésiennes* en temps et en espace, puis on intègre et on applique la formule de Green sur *chaque* volume de contrôle.



- Valeur moyenne sur un volume de contrôle $K_{i,j}$:

$$u_{i,j} = \frac{1}{\Delta x \Delta y} \int_{K_{i,j}} u d\Omega$$

- Flux numérique :

$$\phi_{i+1/2,j}^n = (u \vec{c} \cdot \vec{n})_{i+1/2,j}$$

Équation d'advection et extension du modèle

Rappels

Schéma numérique

$$\frac{u_{i,j}^{n+1} - u_{i,j}^n}{\Delta t_n} + \frac{1}{\Delta x \Delta y} [\phi_{i+1/2,j}^n \Delta y + \phi_{i-1/2,j}^n \Delta y + \phi_{i,j+1/2}^n \Delta x + \phi_{i,j-1/2}^n \Delta x] = 0 \quad (1)$$

en posant $\phi_{i+1/2,j}^n = (\vec{c} \cdot \vec{n})_{i+1/2,j}$ (voir [DeDu]).

Choix de la méthode de calcul des flux numériques

Méthode VFFC (d'après [Ghi99]) :

$$\phi_{i+1/2,j}^n = \frac{F(u_{i,j}) + F(u_{i+1,j})}{2} \cdot \vec{n} - \operatorname{sgn}(\vec{c} \cdot \vec{n}) \frac{F(u_{i+1,j}) - F(u_{i,j})}{2} \cdot \vec{n} \quad (2)$$

On utilise le *splitting directionnel* : on se ramène à plusieurs schémas 1D successifs.

Équation d'advection et extension du modèle

Rappels

Simulation de l'équation d'advection, à vitesse c variable.

Champ de vitesse $[u, v]$ tournant, maillage 512×512 points 1024 étapes.

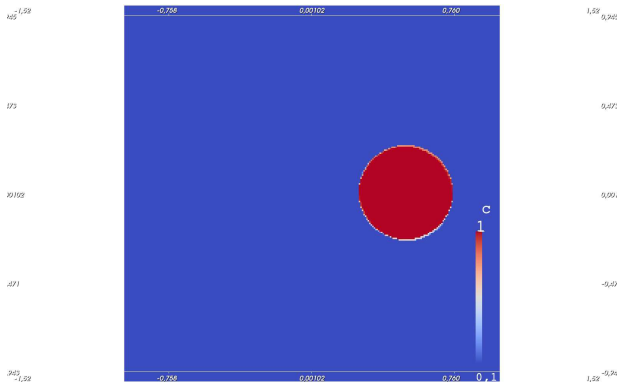


FIGURE: Affichage en 2D de c .

Équation d'advection et extension du modèle

CPU ? GPU ? CUDA ? (voir [KrSa])

- **CPU** : processeur, hôte ;
- **GPU** : carte graphique, périphérique ;
- Un **kernel** est une portion de code parallèle à exécuter sur le périphérique. Chacune de ses instances s'appelle un **thread** ;
- Une **grille** est constituée de **blocs**. Chaque bloc est utilisé pour plusieurs **threads**.

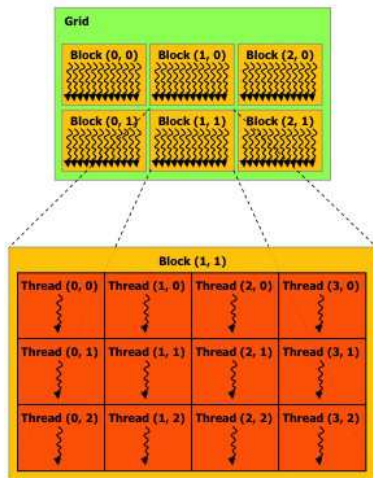


Figure 2-1. Grid of Thread Blocks

Équations d'Euler (Théorie)

Présentation des équations

Modélisent le comportement d'un **fluide compressible non visqueux**.

Les équations physiques

- Équation de *continuité* (conservation de la masse) :

$$\partial_t \rho + \operatorname{div}(\rho \cdot \vec{W}) = 0; \quad (3)$$

- Équations du *mouvement* (1 par dimension) :

$$\partial_t(\rho \cdot \vec{W}) + \operatorname{div}(\rho \cdot \vec{W} \otimes \vec{W} + p \cdot \operatorname{Id}) = 0; \quad (4)$$

- Équation d'*énergie* (température) où $E := e + \frac{1}{2} \cdot W^2$:

$$\partial_t(\rho E) + \operatorname{div}((\rho E + p) \cdot \vec{W}) = 0. \quad (5)$$

⇒ Il manque une équation pour fermer le système !

Équations d'Euler (Théorie)

Présentation des équations

Modélisent le comportement d'un **fluide compressible non visqueux**.

Les équations physiques

- Équation de *continuité* (conservation de la masse) :

$$\partial_t \rho + \operatorname{div}(\rho \cdot \vec{W}) = 0; \quad (3)$$

- Équations du *mouvement* (1 par dimension) :

$$\partial_t(\rho \cdot \vec{W}) + \operatorname{div}(\rho \cdot \vec{W} \otimes \vec{W} + p \cdot \operatorname{Id}) = 0; \quad (4)$$

- Équation d'*énergie* (température) où $E := e + \frac{1}{2} \cdot W^2$:

$$\partial_t(\rho E) + \operatorname{div}((\rho E + p) \cdot \vec{W}) = 0. \quad (5)$$

⇒ Il manque une équation pour fermer le système !

Équations d'Euler (Théorie)

Présentation des équations

Modélisent le comportement d'un **fluide compressible non visqueux**.

Les équations physiques

- Équation de *continuité* (conservation de la masse) :

$$\partial_t \rho + \operatorname{div}(\rho \cdot \vec{W}) = 0; \quad (3)$$

- Équations du *mouvement* (1 par dimension) :

$$\partial_t(\rho \cdot \vec{W}) + \operatorname{div}(\rho \cdot \vec{W} \otimes \vec{W} + p \cdot \operatorname{Id}) = 0; \quad (4)$$

- Équation d'*énergie* (température) où $E := e + \frac{1}{2} \cdot W^2$:

$$\partial_t(\rho E) + \operatorname{div}((\rho E + p) \cdot \vec{W}) = 0. \quad (5)$$

⇒ Il manque une équation pour fermer le système !

Équations d'Euler (Théorie)

Présentation des équations

Modélisent le comportement d'un **fluide compressible non visqueux**.

Les équations physiques

- Équation de *continuité* (conservation de la masse) :

$$\partial_t \rho + \operatorname{div}(\rho \cdot \vec{W}) = 0; \quad (3)$$

- Équations du *mouvement* (1 par dimension) :

$$\partial_t(\rho \cdot \vec{W}) + \operatorname{div}(\rho \cdot \vec{W} \otimes \vec{W} + p \cdot Id) = 0; \quad (4)$$

- Équation d'*énergie* (température) où $E := e + \frac{1}{2} \cdot W^2$:

$$\partial_t(\rho E) + \operatorname{div}((\rho E + p) \cdot \vec{W}) = 0. \quad (5)$$

⇒ Il manque une équation pour fermer le système !

Équations d'Euler (Théorie)

Présentation des équations (2)

On utilise l'équation d'état des *gaz parfaits* (implique une restriction du domaine d'application de ces équations) :

Équation d'état des gaz parfaits

$$e = \frac{1}{\gamma - 1} \times \frac{p}{\rho}. \quad (6)$$

Notations (inspirée de [Buf06])

- p : pression, ρ : masse volumique, $\vec{W} = [u, v, w]^T$: vitesse du fluide (1, 2 ou 3 composantes) ;
- e : énergie interne massique du fluide, γ : rapport des chaleurs spécifiques (constant) et vaut $\gamma = 1.4$ pour un gaz diatomique (air) ;
- \otimes : produit tensoriel, Id : matrice identité ;
- c est la "vitesse du son" : $c = \sqrt{\frac{\gamma \times p}{\rho}}$.

Équations d'Euler (Théorie)

Présentation des équations (3)

On peut maintenant présenter les équations sous forme vectorielle :

Équations d'Euler sous forme vectorielle

$$\vec{U} \equiv [\rho; \rho\vec{W}; E]^T = [\rho; \rho u; \rho v; \rho w; E]^T; \quad (7)$$

$$\frac{\partial}{\partial t} \vec{U} + \frac{\partial}{\partial x} \vec{F}(\vec{U}) + \frac{\partial}{\partial y} \vec{G}(\vec{U}) + \frac{\partial}{\partial z} \vec{H}(\vec{U}) = \vec{S}(\vec{U}). \quad (8)$$

Les flux associés sont alors définis par :

$$\vec{F}(\vec{U}) \equiv \begin{bmatrix} \rho u \\ \rho u^2 + p \\ \rho uv \\ \rho uw \\ u(E + p) \end{bmatrix}; \quad \vec{G}(\vec{U}) \equiv \begin{bmatrix} \rho v \\ \rho vu \\ \rho v^2 + p \\ \rho vw \\ v(E + p) \end{bmatrix}; \quad \vec{H}(\vec{U}) \equiv \begin{bmatrix} \rho w \\ \rho wu \\ \rho wv \\ \rho w^2 + p \\ w(E + p) \end{bmatrix}.$$

$\vec{S}(\vec{U})$ est un terme source , qui peut être nul (*détails plus loin*).

Équations d'Euler (Pratique)

Visualisation via GNUPLOT : exemple pour Euler 1D

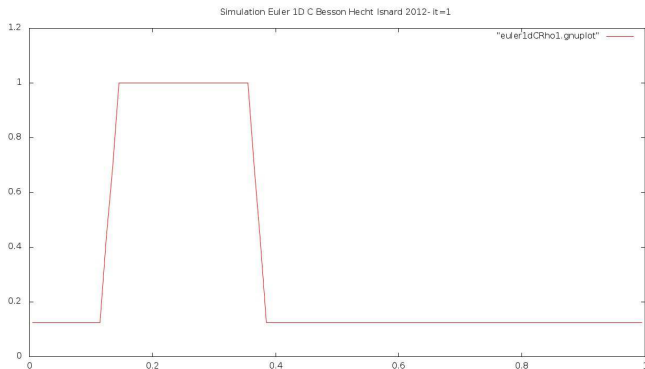


FIGURE: Affichage en 1D de ρ pour Euler compressible (GNUPlot). 400 points, condition de bord périodique, condition initiale créneau.

Équations d'Euler (Théorie)

Méthode de splitting, schéma en 3D

On utilise une méthode de *splitting* : trois étapes mono-dimensionnelles. On va détailler le schéma en 3D ($d=3$) selon x .

Discrétisation en temps et espace

Exactement les mêmes notations et conventions que pour l'équation d'advection : on intègre sur une cellule $K_{i,j,k}$:

$$\frac{\partial}{\partial t} \int_{K_{i,j,k}} \vec{U} dV \simeq \frac{\vec{U}_{i,j,k}^{n+1} - \vec{U}_{i,j,k}^n}{\Delta t^n} \text{Vol}(K_{i,j,k}). \quad (9)$$

Dès lors, pour $(i \in [0; N-1], j \in [0; M-1], k \in [0; O-1])$, on a :

$$\frac{\vec{U}_{i,j,k}^{n+1} - \vec{U}_{i,j,k}^n}{\Delta t_n} + \frac{1}{\Delta x \Delta y \Delta z} [(\vec{\phi}x_{i+1/2}^n \Delta y \Delta z + \vec{\phi}x_{i-1/2}^n \Delta y \Delta z) + \quad (10)$$
$$(\vec{\phi}y_{j+1/2}^n \Delta x \Delta z + \vec{\phi}y_{j-1/2}^n \Delta x \Delta z) + (\vec{\phi}z_{k+1/2}^n \Delta x \Delta y + \vec{\phi}z_{k-1/2}^n \Delta x \Delta y)] = 0.$$

Équations d'Euler (Théorie)

Méthode de splitting, schéma en 3D (2)

Rappel de l'expression des flux ϕ pour l'advection (selon x)

$$\phi_{i+1/2,j}^n = \frac{F(u_{i,j}) + F(u_{i+1,j})}{2} \vec{n} - \text{sgn}(\vec{c} \cdot \vec{n}) \frac{F(u_{i+1,j}) - F(u_{i,j})}{2} \vec{n} \quad (11)$$

De même on a ici :

Pour les flux selon x (toujours VFFC)

Se transforme ici en (On n'écrit pas les j, k pour chaque valeur) :

$$\vec{\phi}_{i+1/2}^n = \frac{\vec{F}(\vec{U}_{i+1}^n) + \vec{F}(\vec{U}_i^n)}{2} - \text{sign}(A_{i+1/2}^n) \frac{\vec{F}(\vec{U}_{i+1}^n) - \vec{F}(\vec{U}_i^n)}{2} \quad (12)$$

où on a posé $A_{i+1/2}^n$ la **matrice jacobienne** du vecteur $\vec{F}(\vec{U}_{i+1/2}^n)$.

⇒ La difficulté est le calcul de cette matrice signe !

Équations d'Euler (Théorie)

Diagonalisation de la matrice A

Définition

$sign(A)$ est la matrice semblable à A et dont les valeurs propres sont les signes des valeurs propres de A ;

$ie : \ker sign(A) = \{sign(\lambda_1); \dots; sign(\lambda_p)\}$, où $sign(x) := 1$ si $x > 0$, $:= -1$ si $x < 0$ et $:= 0$ si $x = 0$, et $\ker A = \{\lambda_1; \dots; \lambda_p\}$.

Théorème (Calcul de $A^{\vec{n}}$ et $sign(A^{\vec{n}})$)

La matrice $A^{\vec{n}}$ est diagonalisable.

On peut alors écrire : $A^{\vec{n}} = L^{\vec{n}} \cdot \Lambda^{\vec{n}} \cdot R^{\vec{n}}$, et $sign(A^{\vec{n}}) = L^{\vec{n}} \cdot sign(\Lambda^{\vec{n}}) \cdot R^{\vec{n}}$.

Le papier [GhiPa] nous donne les valeurs des matrices de vecteurs propres à gauche L , à droite R et des valeurs propres Λ .

Le calcul "à la main" n'est pas faisable.

Équations d'Euler (Théorie)

Valeurs des matrices $A^{\vec{n}}$ et $\Lambda^{\vec{n}}$

Nous avons retrouvé les valeurs formelles de ces matrices par une feuille de calcul formelle via Maple.

Notre matrice $A^{\vec{n}}$ vaut

$$A^{\vec{n}} = \begin{bmatrix} 0 & \vec{n} & 0 \\ K \cdot \vec{n} - (\vec{W} \cdot \vec{n}) \vec{n} & \vec{W} \otimes \vec{n} - k \vec{n} \otimes \vec{W} + (\vec{u} \cdot \vec{n}) Id & k \vec{W} \\ (K - H) \vec{W} \cdot \vec{n} & H \vec{n} - k (\vec{W} \cdot \vec{n}) \vec{W} & (1 + k) \vec{W} \cdot \vec{n} \end{bmatrix} \quad (13)$$

Valeurs propres $\Lambda^{\vec{n}}$ selon l'interface de normale \vec{n}

$$\Lambda^{\vec{n}} = \mathbf{diag}[\vec{W} \cdot \vec{n} - c; \vec{W} \cdot \vec{n}; \vec{W} \cdot \vec{n}; \vec{W} \cdot \vec{n}; \vec{W} \cdot \vec{n} + c] \quad (14)$$

Notations : $k := \gamma - 1$, $H := e + \frac{1}{2} W^2 + \frac{p}{\rho}$, $K := c^2 + k(W^2 - H)$.

Équations d'Euler (Théorie)

Calcul du pas de temps Δt_n

On ne détaille pas la démonstration, mais comme pour l'équation d'advection on arrive à (voir [Buf06] ou [DeDu]) :

Condition CFL

Notre schéma numérique est *stable* **ssi** on a :

$$\forall n, \Delta t_n = CFL \cdot \frac{\min(\Delta x, \Delta y, \Delta z)}{c_{i,j,k}^n + \max_{i,j,k} |W_{i,j,k}^n|} \quad (15)$$

où *CFL* est le nombre de Courant-Friedrich-Lévy, tel que $0 \leq CFL \leq 1$ (comme pour l'advection).

En pratique, il vaut mieux prendre $CFL = 0.5$ ou $CFL = 0.6$ plutôt que d'espérer être stable pour $CFL = 0.99$.

Et être *numériquement stable* pour ≤ 1 et instable dès que > 1 est un indicateur de la correction de la simulation.

Équations d'Euler (Pratique)

Difficultés rencontrées pour les simulations en CUDA

Une "parallélisation" pas triviale depuis notre code séquentiel

Un code séquentiel qu'on avait déjà conçu comme assez économe, et qui a été délicat à passer en parallèle.

Beaucoup d'échange de données entre les mémoires GPU et CPU :

Δt_n se calcule comme un maximum sur le vecteur de vitesse \vec{W} : on est confronté à un problème délicat d'algorithmique parallèle (**réduction**). Pour le moment, on fait ce calcul en séquentiel sur le CPU (*ce qui implique de **tripler** les échanges de mémoire !*);

- Pour l'écriture des données ρ et p à chaque boucle (soit $8NMO$ octets par boucle de temps : pour un maillage $100 \times 100 \times 100$ on a déjà des transferts de l'ordre de la dizaine de mégaoctet par étape). **Jusqu'à 40% du temps de la simulation !**;

Équations d'Euler (Pratique)

Difficultés rencontrées pour les simulations en CUDA

Une "parallélisation" pas triviale depuis notre code séquentiel

Un code séquentiel qu'on avait déjà conçu comme assez économe, et qui a été délicat à passer en parallèle.

Beaucoup d'échange de données entre la mémoire **vive** et **morte** :

Δt_n se calcule comme un maximum sur le vecteur de vitesse \vec{W} : on est confronté à un problème délicat d'algorithmique parallèle (**réduction**). Pour le moment, on fait ce calcul en séquentiel sur le CPU (*ce qui implique de tripler les échanges de mémoire !*);

- Pour l'écriture des données ρ et p à chaque boucle (soit $8NMO$ octets par boucle de temps : pour un maillage $100 \times 100 \times 100$ on a déjà des transferts de l'ordre de la dizaine de mégaoctet par étape). **Jusqu'à 40% du temps de la simulation !** ;

Équations d'Euler (Théorie)

Différentes conditions aux limites

Dans les équations précédentes, le vecteur des variables conservatives \vec{U} dépend des flux aux interfaces : à gauche ($i - 1/2$) et à droite ($i + 1/2$), en bas ($j - 1/2$) et en haut ($j + 1/2$), et en arrière ($k - 1/2$) et en avant ($k + 1/2$).

Mais ?

Comment calculer les flux aux interfaces extrêmes ?

⇒ *Différents types de conditions aux limites !*

Conditions limites périodiques

On choisit $\vec{F}(\vec{U}_N^n) = \vec{F}(\vec{U}_0^n)$; et $\vec{F}(\vec{U}_{-1}^n) = \vec{F}(\vec{U}_{N-1}^n)$; Idem pour j, M selon y et k, O selon z .

En 1D modélise un tube circulaire. En 2D, l'atmosphère. En 3D, rien de très physique !

Équations d'Euler (Théorie)

Différentes conditions aux limites

Conditions limites absorbantes

On choisit $\vec{F}(\vec{U}_N^n) = \vec{F}(\vec{U}_{N-1}^n)$; et $\vec{F}(\vec{U}_{-1}^n) = \vec{F}(\vec{U}_0^n)$; Idem pour j, M selon y et k, O selon z .

Modélise un tube (en 1D), une surface de lac (en 2D) ou une piscine (en 3D) de taille infinie, lorsque les conditions initiales sont assez éloignées des bords.

Conditions limites de mur

Pour calculer les flux aux interfaces extrêmes, on suppose $\vec{W} \cdot \vec{n} = 0$.
Il y a plusieurs stratégies pour calculer la pression de la cellule intérieure (stratégie *du pauvre*, du *pas pauvre*, et une autre plus explicite).

Modélise un tube (en 1D), une surface de lac (en 2D) ou une piscine (en 3D) avec des bords sur lesquelles se réfléchissent les ondes étudiées.

Équations d'Euler (Pratique)

Visualisation via GNUPLOT : différentes conditions limites

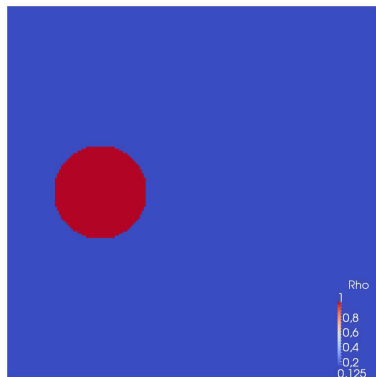


FIGURE: Affichage en 2D pour Euler compressible (ParaView) : conditions périodiques.

Équations d'Euler (Pratique)

Visualisation via GNUPLOT : différentes conditions limites

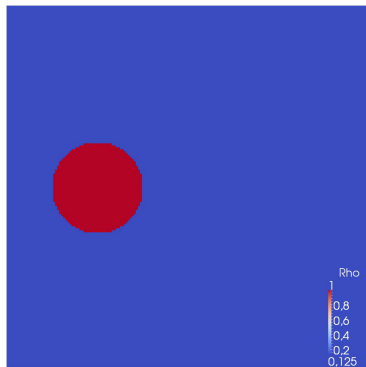


FIGURE: Affichage en 2D pour Euler compressible (ParaView) : conditions absorbantes.

Équations d'Euler (Pratique)

Visualisation via `GNUPLOT` : différentes conditions limites

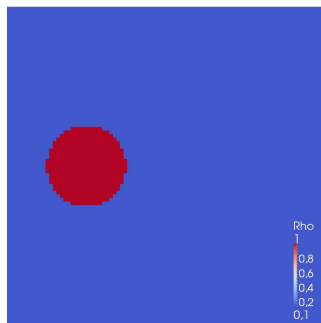


FIGURE: Affichage en 2D pour Euler compressible (ParaView) : conditions de mur.

Équations d'Euler (Théorie)

Terme source $S(U)$

Dans les équations d'Euler présentées plus haut, on peut rajouter un terme source $\vec{S}(\vec{U})$.

$\vec{S}(\vec{U})$ peut représenter la force de gravité

$$\vec{S}(\vec{U}) = \begin{bmatrix} 0 \\ \rho \cdot \vec{g} \\ \rho \cdot \vec{g} \cdot \vec{W} \end{bmatrix} \quad (16)$$

Cela revient à rajouter la force de gravité dans l'équation du mouvement, et le travail du poids dans l'équation de l'énergie.

(Rappel : $\vec{g} = [0; 0; -g_0]^T$, $g_0 = 9.81 m \cdot s^{-2}$)

Dans notre résolution, on peut ajouter *vraisemblablement* ce terme dans chacune des trois étapes (mais une seule fois en tout). Nous avons choisi de le faire dans le splitting en z .

Optimisation du code séquentiel et parallèle

Première comparaison des performances (solveur advection)

Les paramètres de la comparaison sont d'abord 256×256 points, puis 512×512 , ensuite 1024×1024 et enfin 2048×2048 points, et 1024 étapes en temps.

Codes	Temps mis (256x256)	(512x512)	(1024x1024)	(2048x2048)
C	43s	2m32s	10m41s	40m21s
CUDA	37s	39s	42s	45s

Bref, il est immédiat de constater que, comme prévu, le calcul parallélisé avec CUDA est le plus rapide, mais surtout **peu dépendant du nombre de points** !

Nous précisons qu'ici n'est pas compté le temps de *compilation*, mais que l'*initialisation* et les *écritures dans les fichiers .vtk* sont comptées (une étape sur 20 seulement).

Optimisation du code séquentiel et parallèle

Optimiser la visualisation des données produites

- **GNUplot et VTK+Paraview** Ces deux outils nécessitent une étape que l'expérience à montrée comme étant la **plus couteuse en temps de calcul** : l'écriture des valeurs du vecteur à afficher, une à une, dans un fichier de la mémoire morte de l'ordinateur.
En effet, de nombreuses simulations ont permis de montrer que jusqu'à 40% du temps pouvait être dépensé cette phase de création du fichier, écriture, et fermeture du fichier.
- **OpenGL** Nous nous sommes intéressé à un troisième moyen de visualisation : OpenGL (Open Graphics Library) . C'est une bibliothèque qui permet un affichage en 3D *en temps réel*.

Optimisation du code séquentiel et parallèle

Optimiser la visualisation des données produites

- **GNUplot et VTK+Paraview** Ces deux outils nécessitent une étape que l'expérience à montrée comme étant la **plus couteuse en temps de calcul** : l'écriture des valeurs du vecteur à afficher, une à une, dans un fichier de la mémoire morte de l'ordinateur.
En effet, de nombreuses simulations ont permis de montrer que jusqu'à 40% du temps pouvait être dépensé cette phase de création du fichier, écriture, et fermeture du fichier.
- **OpenGL** Nous nous sommes intéressé à un troisième moyen de visualisation : OpenGL (Open Graphics Library) . C'est une bibliothèque qui permet un affichage en 3D *en temps réel*.

Optimisation du code séquentiel et parallèle

Comparaison GNUplot vs OpenGL

Code	Temps mis (512x512)	Temps mis (256x256)
GNUplot	4m59s	3m27s
VTK	43s	31s
OpenGL	29s	20s

- l'affichage interactif avec `GNUplot` est le plus lent, car il nécessite l'impression du triple de données, l'appel du sous processus, et le traitement des données ;
- la mesure pour l'affichage via `VTK` est légèrement faussée, car ne contient que le temps pris par l'impression et ne compte pas la visualisation post-calcul ;
- il est rassurant de constater que l'investissement en `OpenGL` aura apporté un vrai plus sur le plan des performances : plus de 30% de gagné !

Optimisation du code séquentiel et parallèle

Difficulté du développement, du débogage et donc de l'optimisation en CUDA

- Des outils de développement difficilement utilisables (mauvais contact avec *cuda-gdb* et *nvvp*);
- Des essais de parallélisation plus "fine" sans résultats satisfaisants (calcul de Δt , calcul matriciel);
- Le choix des paramètres de parallélisation (THREADS et GRIDS) est difficile : beaucoup de tâtonnement !

Une comparaison pour un maillage 728×728 , 1024 étapes et des conditions de mur.

Code	En écrivant en .vtk	Sans écrire en .vtk
C	46m28s	32m20s
CUDA	12m3s	5m19s

→ Un **speed-up** de près de 7 !

Optimisation du code séquentiel et parallèle

Difficulté du développement, du débogage et donc de l'optimisation en CUDA

- Des outils de développement difficilement utilisables (mauvais contact avec *cuda-gdb* et *nvvp*);
- Des essais de parallélisation plus "fine" sans résultats satisfaisants (calcul de Δt , calcul matriciel);
- Le choix des paramètres de parallélisation (THREADS et GRIDS) est difficile : beaucoup de tâtonnement !

Une comparaison pour un maillage 728×728 , 1024 étapes et des conditions de mur.

Code	En écrivant en .vtk	Sans écrire en .vtk
C	46m28s	32m20s
CUDA	12m3s	5m19s

→ Un **speed-up** de près de 7 !

Optimisation du code séquentiel et parallèle

Difficulté du développement, du débogage et donc de l'optimisation en CUDA

- Des outils de développement difficilement utilisables (mauvais contact avec *cuda-gdb* et *nvvp*);
- Des essais de parallélisation plus "fine" sans résultats satisfaisants (calcul de Δt , calcul matriciel);
- Le choix des paramètres de parallélisation (THREADS et GRIDS) est difficile : beaucoup de tâtonnement !

Une comparaison pour un maillage 728×728 , 1024 étapes et des conditions de mur.

Code	En écrivant en .vtk	Sans écrire en .vtk
C	46m28s	32m20s
CUDA	12m3s	5m19s

→ Un **speed-up** de près de 7 !

Conclusion

Un petit bonus!

- OpenGL → affichage interne pendant le calcul ;
- OpenGL → interaction !

Pas encore de simulation interactive fonctionnelle, mais nous y étions presque !

L'affichage via `OPENGL` en `CUDA` n'a pas fonctionné aussi bien qu'en `C`.

Conclusion

Un petit bonus!

- OpenGL → affichage interne pendant le calcul ;
- OpenGL → interaction !

Pas encore de simulation interactive fonctionnelle, mais nous y étions presque !

L'affichage via `OPENGL` en `CUDA` n'a pas fonctionné aussi bien qu'en `C`.

Conclusion

- **Euler C** Nous avons réalisé un solveur volume finis pour l'équation d'Euler compressible en 3D en C ;
- **Visualisation** Nous visualisons les données numériques calculées en *temps réel* via OPENGL ou en *post-mortem* via le couple VTK et PARAVIEW ;
- **CUDA** Nous avons porté le code 2D sur GPU via CUDA : un développement pas facile et parfois laborieux ;
- **Optimisation (1)** Nous avons déjà amélioré les performances de nos codes Euler2D en C et CUDA. Nous gagnons presque 10% en temps de calcul avec cette première couche ;
- **Optimisation (2)** L'objectif initial était d'atteindre un **speed-up** de 100, nous avons réussi à avoir presque 6.
- **Interactif** N'ajoute rien sur le plan mathématique, mais est intéressant sur le plan informatique ... et permet d'ajouter un effet festif indéniable !

Conclusion

- **Euler C** Nous avons réalisé un solveur volume finis pour l'équation d'Euler compressible en 3D en C ;
- **Visualisation** Nous visualisons les données numériques calculées en *temps réel* via OPENGL ou en *post-mortem* via le couple VTK et PARAVIEW ;
- **CUDA** Nous avons porté le code 2D sur GPU via CUDA : un développement pas facile et parfois laborieux ;
- **Optimisation (1)** Nous avons déjà amélioré les performances de nos codes Euler2D en C et CUDA. Nous gagnons presque 10% en temps de calcul avec cette première couche ;
- **Optimisation (2)** L'objectif initial était d'atteindre un **speed-up** de 100, nous avons réussi à avoir presque 6.
- **Intéactif** N'ajoute rien sur le plan mathématique, mais est intéressant sur le plan informatique ... et permet d'ajouter un effet festif indéniable !

Conclusion

- **Euler C** Nous avons réalisé un solveur volume finis pour l'équation d'Euler compressible en 3D en C ;
- **Visualisation** Nous visualisons les données numériques calculées en *temps réel* via OPENGL ou en *post-mortem* via le couple VTK et PARAVIEW ;
- **CUDA** Nous avons porté le code 2D sur GPU via CUDA : un développement pas facile et parfois laborieux ;
- **Optimisation (1)** Nous avons déjà amélioré les performances de nos codes Euler2D en C et CUDA. Nous gagnons presque 10% en temps de calcul avec cette première couche ;
- **Optimisation (2)** L'objectif initial était d'atteindre un **speed-up** de 100, nous avons réussi à avoir presque 6.
- **Intéactif** N'ajoute rien sur le plan mathématique, mais est intéressant sur le plan informatique ... et permet d'ajouter un effet festif indéniable !

Conclusion

- **Euler C** Nous avons réalisé un solveur volume finis pour l'équation d'Euler compressible en 3D en C ;
- **Visualisation** Nous visualisons les données numériques calculées en *temps réel* via OPENGL ou en *post-mortem* via le couple VTK et PARAVIEW ;
- **CUDA** Nous avons porté le code 2D sur GPU via CUDA : un développement pas facile et parfois laborieux ;
- **Optimisation (1)** Nous avons déjà amélioré les performances de nos codes Euler2D en C et CUDA. Nous gagnons presque 10% en temps de calcul avec cette première couche ;
- **Optimisation (2)** L'objectif initial était d'atteindre un **speed-up** de 100, nous avons réussi à avoir presque 6.
- **Intéactif** N'ajoute rien sur le plan mathématique, mais est intéressant sur le plan informatique ... et permet d'ajouter un effet festif indéniable !

Conclusion

- **Euler C** Nous avons réalisé un solveur volume finis pour l'équation d'Euler compressible en 3D en C ;
- **Visualisation** Nous visualisons les données numériques calculées en *temps réel* via OPENGL ou en *post-mortem* via le couple VTK et PARAVIEW ;
- **CUDA** Nous avons porté le code 2D sur GPU via CUDA : un développement pas facile et parfois laborieux ;
- **Optimisation (1)** Nous avons déjà amélioré les performances de nos codes Euler2D en C et CUDA. Nous gagnons presque 10% en temps de calcul avec cette première couche ;
- **Optimisation (2)** L'objectif initial était d'atteindre un **speed-up** de 100, nous avons réussi à avoir presque 6.
- **Intéactif** N'ajoute rien sur le plan mathématique, mais est intéressant sur le plan informatique ... et permet d'ajouter un effet festif indéniable !

- **Euler C** Nous avons réalisé un solveur volume finis pour l'équation d'Euler compressible en 3D en C ;
- **Visualisation** Nous visualisons les données numériques calculées en *temps réel* via OPENGL ou en *post-mortem* via le couple VTK et PARAVIEW ;
- **CUDA** Nous avons porté le code 2D sur GPU via CUDA : un développement pas facile et parfois laborieux ;
- **Optimisation (1)** Nous avons déjà amélioré les performances de nos codes Euler2D en C et CUDA. Nous gagnons presque 10% en temps de calcul avec cette première couche ;
- **Optimisation (2)** L'objectif initial était d'atteindre un **speed-up** de 100, nous avons réussi à avoir presque 6.
- **Interactif** N'ajoute rien sur le plan mathématique, mais est intéressant sur le plan informatique ... et permet d'ajouter un effet festif indéniable !

Conclusion

Fin

Merci pour votre attention.
N'hésitez pas à poser vos questions !

Livres :

DeDu *Systèmes hyperboliques de lois de conservation*, de Bruno Despres et Francois Dubois ;

SaKr *CUDA by example*, de Jason Sanders et Edward Kandrot ;

Ghi99 *An overview of the VFFC-method and tools for the simulation of two-phase flows* de J. M. Ghidaglia ;

GhiPa *On Boundary conditions for multidimensional hyperbolic systems of conservation laws in the finite volume framework* de J. M. Ghidaglia et F. Pascal ;

Sites web, articles :

- http://www.nvidia.fr/object/what_is_cuda_new_fr.html
Page de NVidia CUDA ;

Buf06 http://ufrmeca.univ-lyon1.fr/~buffat/COURS/AERO_HTML/courshtml1.html Cours de dynamique des gaz, par Marc BUFFAT ;

L'équation sous forme différentielle en 2D

$$\partial_t u + \operatorname{div}(\vec{c} u) = 0 \quad (17)$$

$u : \mathbb{R}_+ \times \mathbb{R}^2 \rightarrow \mathbb{R}$: représente une quantité associée à une particule de fluide,

$\vec{c} = (a, b)^T$: est une vitesse, représentant le courant,

On discretise en espace :

Nombre de colonne : n_{csd} ;

Nombre de ligne : n_{lsd} ;

La valeur de u dans le carre (i, j)
est $u[(i - 1)n_{csd} + j]$

...
...
...	...	(i,j)
...
1	2	3

Équations d'Euler (Pratique) Annexe

Visualisation via GNUPLOT : exemple d'un morceau de code

```
1 Write(nom_graphique , u, N, M);
2 fprintf(gnuplot_ptr , "unset key\nset pm3d map\nset time\nset
  xlabel 'x_i , i=0..%d'\nset ylabel 'y_j , j=0..%d'\nset
  zlabel 'Valeurs numeriques de u[i,j]'\nset grid xtics
  ytics\nset hidden3d\nset nokey\nset title 'Besson Hecht
  Isnard 2012 - Param:[c_x,c_y,t,borne]=[%f,%f,%d,%d] - it=%
  d'\n" , N, M, a, b, type_cond_init , borne , it);
3 fprintf(gnuplot_ptr , "pause 0.00005\nsplot \"%s\" with lines\
  n" , nom_graphique); fflush(gnuplot_ptr);
4 // Pour ecrire les donnees, afin de les afficher "en temps
  reel"
5 void Write(char *nom, float *f, int n, int m){
6   int i,j; FILE *file=fopen(nom, "w"); int pasn , pasm;
7   pasn = 1+(n / NOMBRE_MAX_X); pasm = 1+(m / NOMBRE_MAX_Y);
8   for (i=0; i<n; i = i+pasn){ for (j=0; j<m; j = j+pasm){
9     fprintf(file , "\t\t%f\t\t%f\t\t%f\n" , (0.5*hx + i*hx) ,
      (0.5*hy + j*hy) , f[I2D(n,i,j)]);
10    } fprintf(file , "\n"); }
11   fflush(file); }
```

Équations d'Euler (Pratique) Annexe

Visualisation via VTK et PARAVIEW : exemple d'un morceau de code C

```
1 // Pour ecrire notre matrice rho ou P dans un fichier VTK
2 __host__ void WriteVtk3D(char *nom, double *f, int N, int M,
   int O, float hx, float hy, float hz, char* nom_variable,
   int debugint){
3 (.. // passage pas interessant )
4 fprintf(file ,"# vtk DataFile Version 3.0\n# Valeurs
   Euler_3D_POINTS CUDA\nASCII\nDATASET STRUCTURED_POINTS\n
   ");
5 fprintf(file ,"DIMENSIONS %d %d %d\n", N, M, O);
6 fprintf(file ,"ORIGIN %f %f %f\n", 0.5*hx, 0.5*hy, 0.5*hz);
7 fprintf(file ,"SPACING %f %f %f\n", hx, hy, hz);
8 fprintf(file ,"POINT_DATA %d\n", N*M*O);
9 fprintf(file ,"SCALARS %s float\n", nom_variable);
10 fprintf(file ,"LOOKUP_TABLE default\n");
11 // L'etape d'ecriture est ici sequentielle avec VTK !
12 for (i=0; i<M; i ++){ for (j=0; j<N; j ++){ for (l=0; l<O;
   l ++){
13     fprintf(file , "%f\n", f[i*N*O + j*O + l]); } } }
14 fflush(file); fclose(file); } }
```

Équations d'Euler (Pratique) Annexe

Visualisation via VTK et PARAVIEW : exemple d'un morceau de code C (2)

Et à la fin de chaque étape de la boucle en temps :

```
1 // On imprime Rho
2 sprintf(nom_graphique , "Ecrire_valeurs_euler_3D_CUDA_%
   d_rho_%s.vtk" , it , nom_conditions_initiales(
   GET_CONDITION_INITIALES));
3 printf("Etape %d :\nten cours ...\tecriture dans le fichier
   externe <%s> en cours [RHO]...\n" , it , nom_graphique);
4 WriteVtk3D(nom_graphique , rho , N , M , O , hx , hy , hz , "Rho" ,
   GET_DEBUG_VOIR_VTK);
```

⇒ *C'est moins "simple" !*

Équations d'Euler (Pratique) Annexe

Visualisation via VTK et PARAVIEW : exemple d'un morceau de code C (2)

Et à la fin de chaque étape de la boucle en temps :

```
1 // On imprime Rho
2 sprintf(nom_graphique, "Ecrire_valeurs_euler_3D_CUDA_%
   d_rho_%s.vtk", it, nom_conditions_initiales(
   GET_CONDITION_INITIALES));
3 printf("Etape %d :\nten cours ...\tecriture dans le fichier
   externe <%s> en cours [RHO]...\n", it, nom_graphique);
4 WriteVtk3D(nom_graphique, rho, N, M, O, hx, hy, hz, "Rho",
   GET_DEBUG_VOIR_VTK);
```

⇒ *C'est moins "simple" !*

Équations d'Euler (Théorie)

Valeurs des matrices $L^{\vec{n}}$, et $R^{\vec{n}}$

Nous avons retrouvé les valeurs formelles de ces matrices par une feuille de calcul formelle via Maple. Où on a posé $\vec{\Omega}_1$ et $\vec{\Omega}_2$ une base orthogonale directe de l'hyperplan de normale \vec{n} .

Notre matrice $R^{\vec{n}}$ (selon la normale \vec{n}) vaut

$$R^{\vec{n}} = \begin{bmatrix} 1 & 1 & 0 & 0 & 1 \\ \vec{W} - c\vec{n} & \vec{W} & \vec{\Omega}_1 & \vec{\Omega}_2 & \vec{W} + c\vec{n} \\ H - (\vec{W} \cdot \vec{n})c & H - \frac{c^2}{k} & \vec{W} \cdot \vec{\Omega}_1 & \vec{W} \cdot \vec{\Omega}_2 & H + (\vec{W} \cdot \vec{n})c \end{bmatrix} \quad (18)$$

Notre matrice $L^{\vec{n}}$ (selon la normale \vec{n}) vaut

$$L^{\vec{n}} = \begin{bmatrix} \frac{1}{2c^2}(K + \vec{W} \cdot \vec{n}c) & \frac{k}{c^2}(H - W^2) & -\vec{W} \cdot \vec{\Omega}_1 & -\vec{W} \cdot \vec{\Omega}_2 & \frac{1}{2c^2}(K - \vec{W} \cdot \vec{n}c) \\ \frac{1}{2c^2}(-k\vec{W} - \vec{n}c) & \frac{k}{c^2}(\vec{W}) & \vec{\Omega}_1 & \vec{\Omega}_2 & \frac{1}{2c^2}(-k\vec{W} + \vec{n}c) \\ \frac{1}{2c^2} \cdot k & -\frac{k}{c^2} & 0 & 0 & \frac{1}{2c^2} \cdot k \end{bmatrix} \quad (19)$$

Équations d'Euler (Théorie)

Valeurs des matrices $L^{\vec{n}}$, et $R^{\vec{n}}$

Nous avons retrouvé les valeurs formelles de ces matrices par une feuille de calcul formelle via Maple. Où on a posé $\vec{\Omega}_1$ et $\vec{\Omega}_2$ une base orthogonale directe de l'hyperplan de normale \vec{n} .

Notre matrice $R^{\vec{n}}$ (selon la normale \vec{n}) vaut

$$R^{\vec{n}} = \begin{bmatrix} 1 & 1 & 0 & 0 & 1 \\ \vec{W} - c\vec{n} & \vec{W} & \vec{\Omega}_1 & \vec{\Omega}_2 & \vec{W} + c\vec{n} \\ H - (\vec{W} \cdot \vec{n})c & H - \frac{c^2}{k} & \vec{W} \cdot \vec{\Omega}_1 & \vec{W} \cdot \vec{\Omega}_2 & H + (\vec{W} \cdot \vec{n})c \end{bmatrix} \quad (18)$$

Notre matrice $L^{\vec{n}}$ (selon la normale \vec{n}) vaut

$$L^{\vec{n}} = \begin{bmatrix} \frac{1}{2c^2}(K + \vec{W} \cdot \vec{n}c) & \frac{k}{c^2}(H - W^2) & -\vec{W} \cdot \vec{\Omega}_1 & -\vec{W} \cdot \vec{\Omega}_2 & \frac{1}{2c^2}(K - \vec{W} \cdot \vec{n}c) \\ \frac{1}{2c^2}(-k\vec{W} - \vec{n}c) & \frac{k}{c^2}(\vec{W}) & \vec{\Omega}_1 & \vec{\Omega}_2 & \frac{1}{2c^2}(-k\vec{W} + \vec{n}c) \\ \frac{1}{2c^2} \cdot k & -\frac{k}{c^2} & 0 & 0 & \frac{1}{2c^2} \cdot k \end{bmatrix} \quad (19)$$

Équations d'Euler (Pratique)

Difficultés rencontrées pour les simulations en C

Un schéma assez complexe

- Le schéma numérique pour effectuer des simulations numériques sur ces équations d'Euler est plus compliqué que celui utilisé pour l'équation d'advection.
- Il fait intervenir deux douzaines de variables, du calcul matriciel, beaucoup de calculs intermédiaires ; et n'est consistant que pour des conditions initiales assez régulière (rien de formel n'a été fait sur cette observation).
- Le schéma explicite présenté, en pré-calculant les valeurs formelles des matrices de passages et des valeurs propres, est un algorithme linéaire dans le nombre de points (on ne peut pas faire mieux) : de l'ordre de $s.d^2 NMO$ avec une constante $s \leq 50$.

⇒ Pour optimiser les performances de nos résolutions, il faut chercher du côté pratique et non théorique (schéma de complexité algorithmique déjà optimale) !

Équations d'Euler (Pratique)

Difficultés rencontrées pour les simulations en C

Un schéma assez complexe

- Le schéma numérique pour effectuer des simulations numériques sur ces équations d'Euler est plus compliqué que celui utilisé pour l'équation d'advection.
- Il fait intervenir deux douzaines de variables, du calcul matriciel, beaucoup de calculs intermédiaires; et n'est consistant que pour des conditions initiales assez régulière (rien de formel n'a été fait sur cette observation).
- Le schéma explicite présenté, en pré-calculant les valeurs formelles des matrices de passages et des valeurs propres, est un algorithme linéaire dans le nombre de points (on ne peut pas faire mieux) : de l'ordre de $s.d^2 NMO$ avec une constante $s \leq 50$.

⇒ Pour optimiser les performances de nos résolutions, il faut chercher du côté pratique et non théorique (schéma de complexité algorithmique déjà optimale) !

Équations d'Euler (Pratique)

Difficultés rencontrées pour les simulations en C

Un schéma assez complexe

- Le schéma numérique pour effectuer des simulations numériques sur ces équations d'Euler est plus compliqué que celui utilisé pour l'équation d'advection.
- Il fait intervenir deux douzaines de variables, du calcul matriciel, beaucoup de calculs intermédiaires ; et n'est consistant que pour des conditions initiales assez régulière (rien de formel n'a été fait sur cette observation).
- Le schéma explicite présenté, en pré-calculant les valeurs formelles des matrices de passages et des valeurs propres, est un algorithme linéaire dans le nombre de points (on ne peut pas faire mieux) : de l'ordre de $s \cdot d^2 NMO$ avec une constante $s \leq 50$.

⇒ Pour optimiser les performances de nos résolutions, il faut chercher du côté pratique et non théorique (schéma de complexité algorithmique déjà optimale) !

Équations d'Euler (Pratique)

Difficultés rencontrées pour les simulations en C

Un schéma assez complexe

- Le schéma numérique pour effectuer des simulations numériques sur ces équations d'Euler est plus compliqué que celui utilisé pour l'équation d'advection.
- Il fait intervenir deux douzaines de variables, du calcul matriciel, beaucoup de calculs intermédiaires ; et n'est consistant que pour des conditions initiales assez régulière (rien de formel n'a été fait sur cette observation).
- Le schéma explicite présenté, en pré-calculant les valeurs formelles des matrices de passages et des valeurs propres, est un algorithme linéaire dans le nombre de points (on ne peut pas faire mieux) : de l'ordre de $s.d^2 NMO$ avec une constante $s \leq 50$.

⇒ Pour optimiser les performances de nos résolutions, il faut chercher du côté pratique et non théorique (schéma de complexité algorithmique déjà optimale) !

Équations d'Euler (Pratique)

Visualisation via VTK et PARAVIEW : exemple pour Euler 3D

Un film pour Euler 3D avec terme source : vue en coupe.

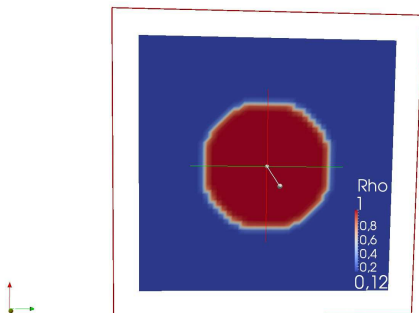


FIGURE: Affichage en 3D pour Euler compressible (ParaView) : conditions périodiques, avec terme source.